



COLLÈGE  
DE FRANCE  
1530

Chaire Innovation Technologique  
Liliane Bettencourt 2021-2022



Fondation  
Bettencourt  
Schueller  
*Reconnue d'utilité publique depuis 1987*

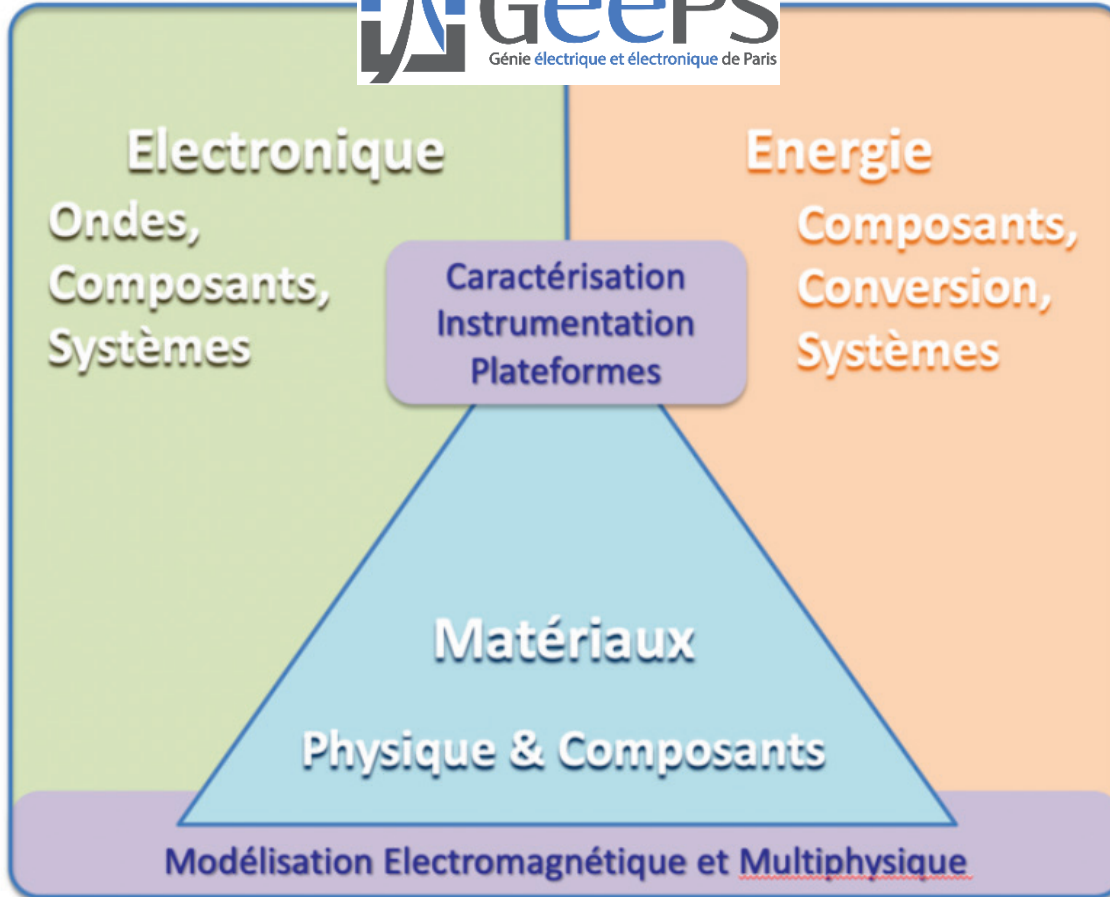
## Énergie solaire photovoltaïque et Transition énergétique

Architecture, fiabilité et  
évolution des systèmes photovoltaïques

Anne MIGAN DUBOIS

Professeure à l'Université Paris-Saclay  
Laboratoire GeePs : Génie électrique et électronique de Paris

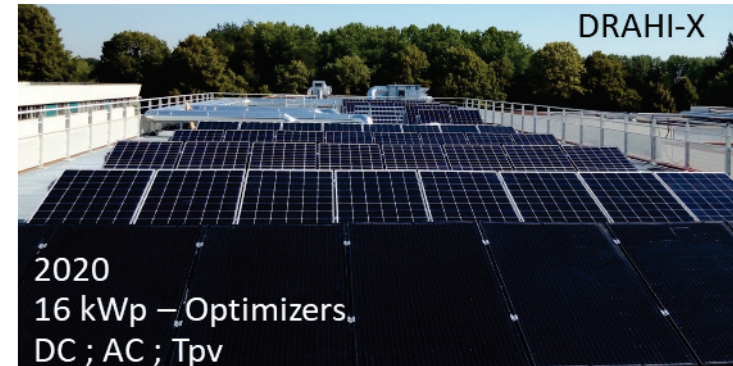
Collège de France, cours de Daniel Lincot, 9 Mars 2022



- 250 collaborateurs
- 3 pôles
- 2 centres d'expertise

Triple approche :  
Théorie  
Modélisation numérique  
Caractérisation et validation  
expérimentales

# Les plateformes instrumentales



# Exemples d'études : La faible concentration



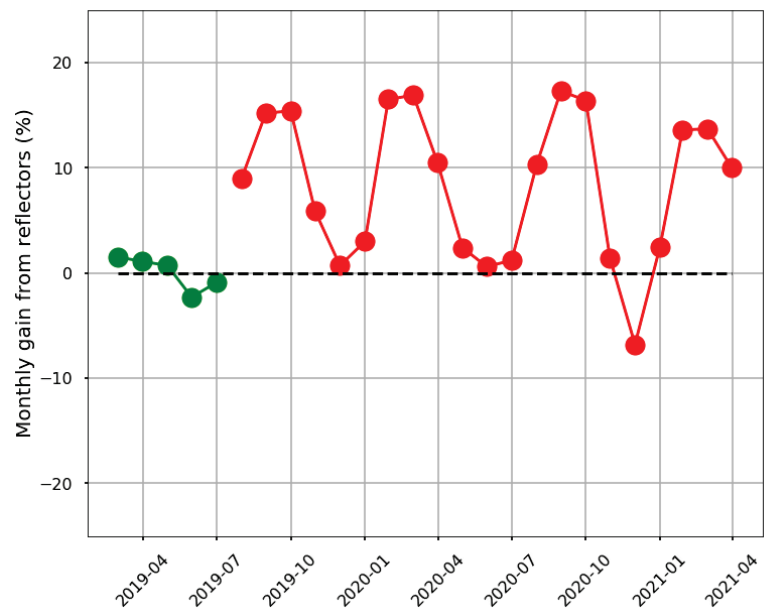
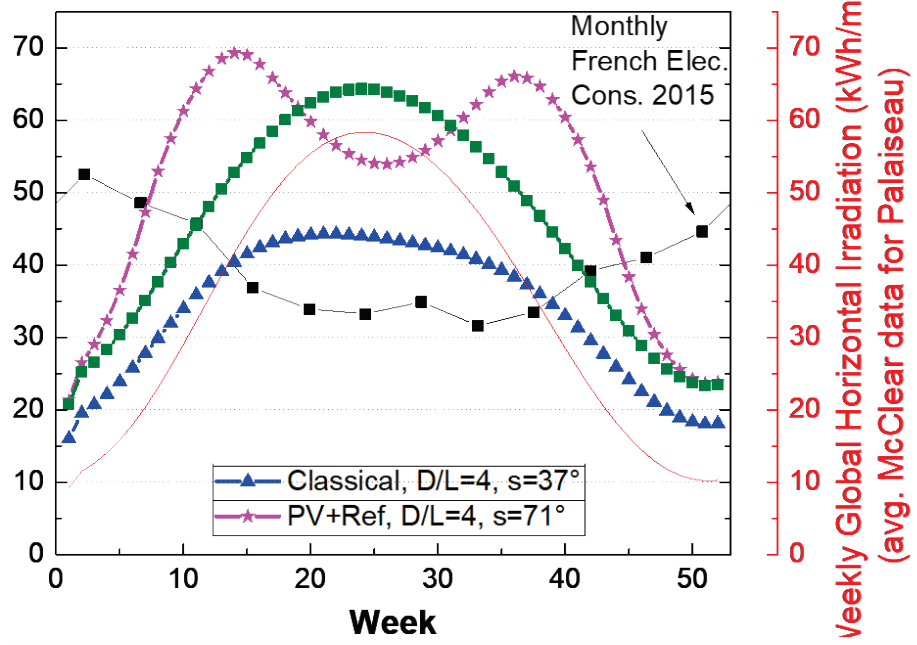
## Aleph

- 2014
- PV+reflectors
- I(V) module

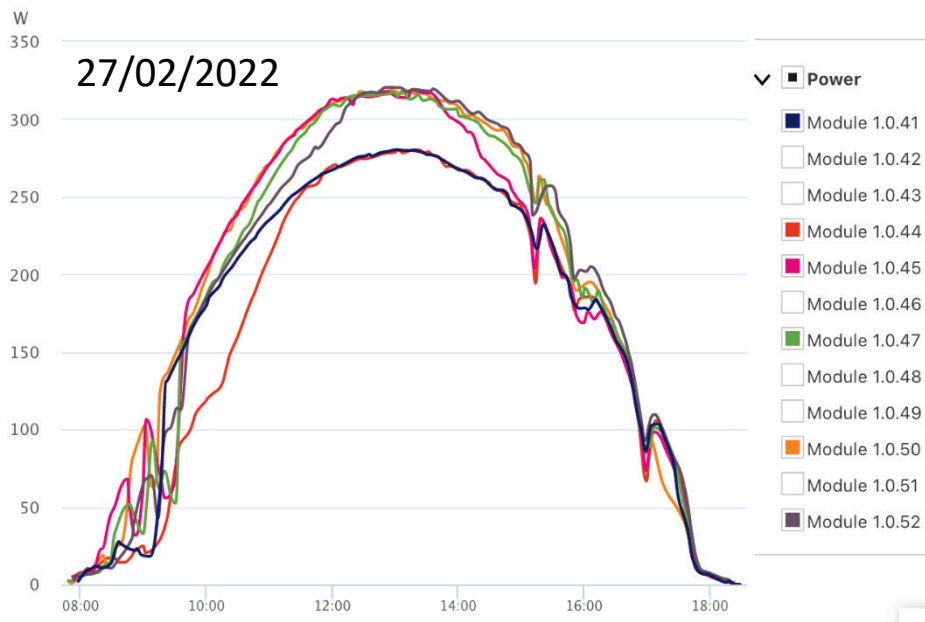
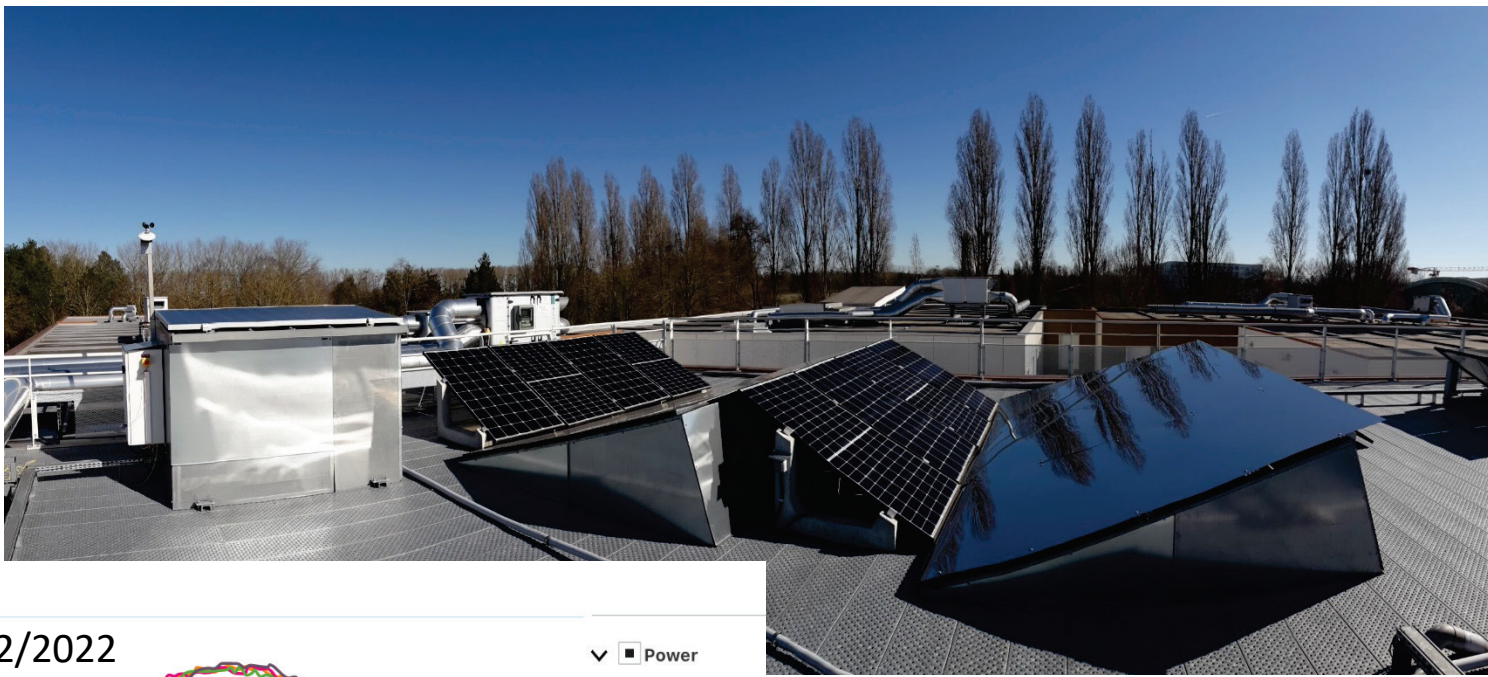


## Myrialeph

- 2019
- PV+reflectors
- DC, AC



# Exemples d'études : La faible concentration



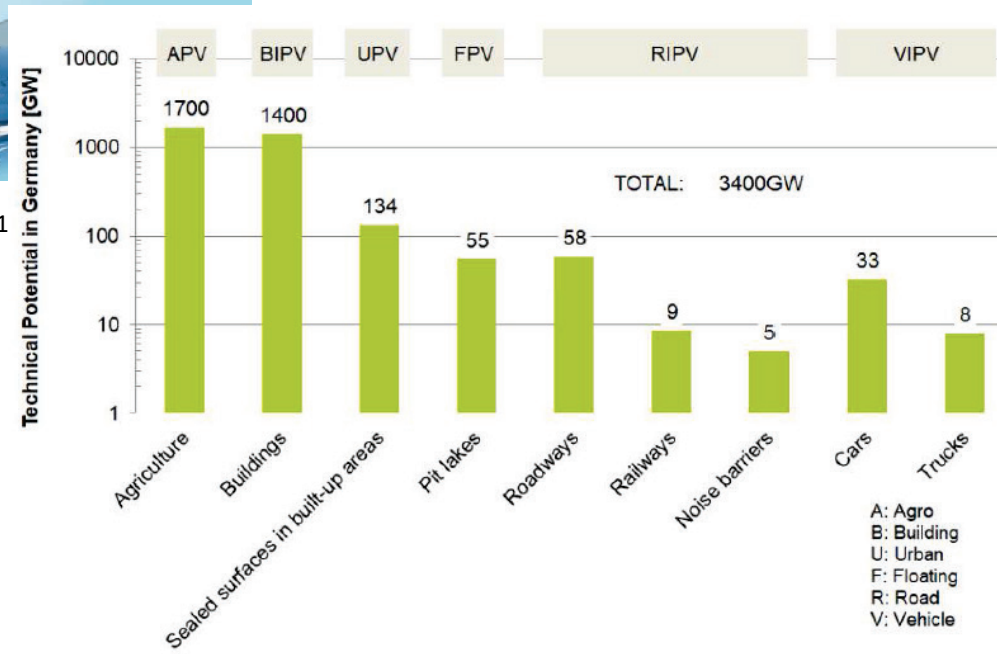


- **Quelques exemples d'intégration du photovoltaïque**
- Les interconnexions de modules
- Les éléments de base d'un système photovoltaïque
- Les défaillances et le suivi de l'état de santé des systèmes photovoltaïques

# Les systèmes photovoltaïques



[https://iea-pvps.org/wp-content/uploads/2020/09/07\\_M.-Trommsdorff\\_A-PV\\_T1](https://iea-pvps.org/wp-content/uploads/2020/09/07_M.-Trommsdorff_A-PV_T1)

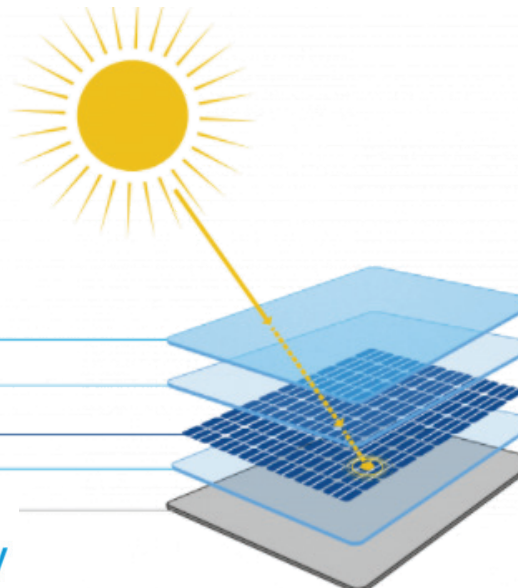


- Protection contre la chaleur excessive
- Mise à disposition d'ombrage, de lumière et de bornes de recharge
- Connexion facile au réseau
- Visuel esthétique
- Concept global de fonctionnalité et esthétique



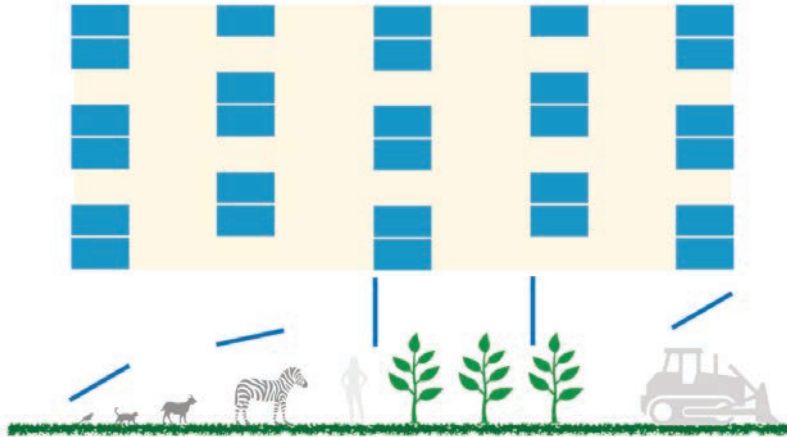


Plate-forme de train, Grasse (France)



168m<sup>2</sup> pour des bornes de recharge et le mise en lumière, Châteauneuf-le-Rouge (France)





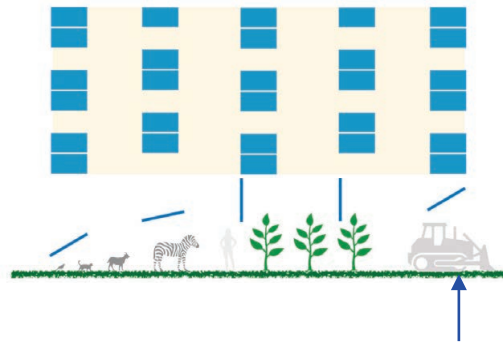
## Objectifs :

- Limiter les conflits d'utilisation des sols
- L'agriculture en premier
- Mesures des performances PV
- Augmenter les rendements agricoles en optimisant les ombrages en fonction des plantes
- Gestion de l'irrigation

## Enjeux :

- Techniques
- Agronomiques
- Environnementaux
- Economiques
- Sociétaux

# APV (fixe)



- 0,3 ha : 9,5m entre les rangées, 3,4 largeur des rangées et 5m de hauteur
- 193 kWc, panneaux semi transparents
- 2018 : +12% pour le céleri, +3% pour le blé d'hiver et -8% pour le trèfle



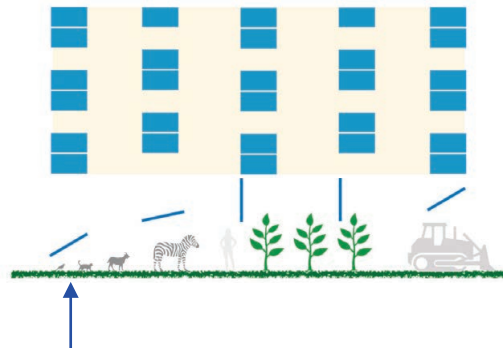
- Suffisamment de lumière et de précipitations
- Degré de couverture réduit d'un tiers
- 1<sup>er</sup> système proposé en 1981

- 3,3 ha de framboises
- 2,67 MWc
- Pas de lumière directe,
- -5°C sous les panneaux comparé à une installation sous bâche
- -2°C comparé à la zone environnante
- Rendements agricoles comparables à ceux sous une bâche



<https://doi.org/10.3390/su13126871>

# APV (fixe)



- Thé de java, aloé-vera, épinards
- Rendement plus élevé pour les plantes
- Température PV réduite de 0,85% (+2,8% en énergie)
- Gestion de l'eau pour le nettoyage et l'irrigation



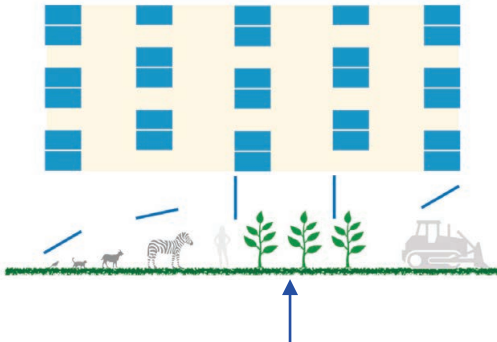
- Faible coût de structure
- Microclimat sous les modules
- Espèces tolérantes à l'ombre
- Climats arides et chauds



- 7 ha
- 5 GWh produit en moyenne par an depuis 2012
- Pastèque, curcuma, gingembre, piment

<https://doi.org/10.3390/su13126871>

# APV (fixe)



- Faible coût de structure
- Peu de possibilité de gestion de l'éclairement
- Vitesse de vent réduite
- Coût des modules PV ( $\sim 600 \text{ €/kWc}$ )
- Orientation Est-Ouest

- 240 Wc : PERT et HIT
- Mis en service en 2021



- Plus grand site Européen (14 ha)
- Foin et ensilage

<https://doi.org/10.3390/su13126871>

# APV (dynamique)



Montpellier (France)

- 1000 m<sup>2</sup> de vignes (grenache noir) dont 600 m<sup>2</sup> sous l'APV
- 84 kWc de panneaux bifaciaux
- Intelligence artificielle programmée pour la croissance de la plante
- -5°C en période chaude
- +2°C lorsque 0°C approche
- -34% d'eau pour l'irrigation
- Meilleur équilibre aromatique du vine

1 axe :

- Suivi en élévation ou en azimut
- Bonne gestion de l'éclairement sur les plantes
- Protection contre le gel et la grêle
- Coût d'acquisition et de maintenance
- Acclimatation des plantes aux ombrages transitoires

- + 2,7% pour le blé
- +11% pour les pommes de terre
- -7,8% pour le trèfle
- 246 MWh produit en 2018 (83%)



Universität Hohenheim (Allemagne)

# APV (dynamique)

- 5m de haut
- 115 kWc
- 1700 m<sup>2</sup> + surface témoin
- Installé en 2021

2 axes :

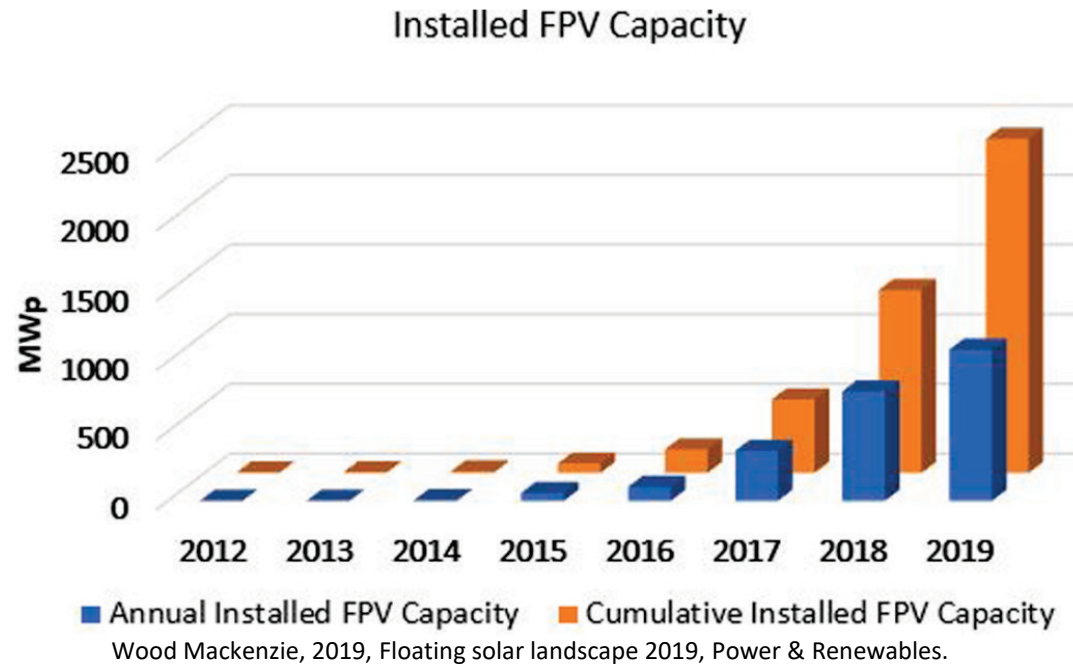
- Suivi en élévation et en azimut
- Maximisation du rendement énergétique
- Petits trackers pour éviter les grandes zones ombragées



- Maïs pour le biogaz
- Densité double : 29,5% d'ombrage
- Densité simple : 13,4% d'ombrage
- Statique : +20%
- Dynamique +23,2%



Croissance très rapide :  
 2 MWc installés en 2011  
 2,6 GWc fin 2021



- Grandes surfaces inutilisées
- Meilleure efficacité du module grâce à l'effet de refroidissement de l'eau
- Taux d'évaporation réduit
- Irradiation solaire plus faible réduit la formation d'algues et protège l'écosystème





Pays Bas

Singapour

Comparaison avec une installation terrestre

- Température moyenne de fonctionnement diminuée de 3,2°C aux Pays-Bas et 4,5°C à Singapour,
- Ce qui correspond à un gain énergétique de 3% et 6% pour les Pays-Bas et Singapour respectivement

<https://doi.org/10.1016/j.solener.2020.11.029>



LBPV

PSPV

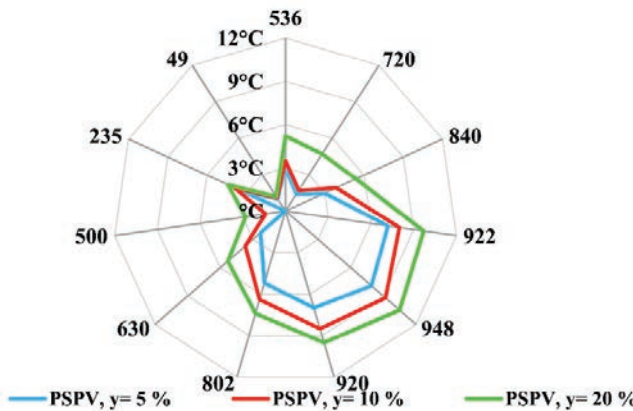


Fig. 13. The temperature difference between PSPV and LBPV modules in relation to the corresponding solar radiation, ( $\text{W}/\text{m}^2$ ).

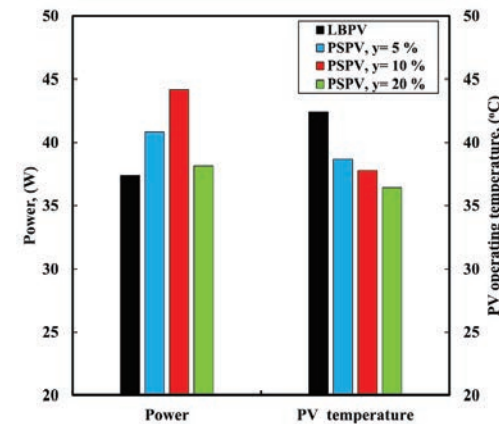
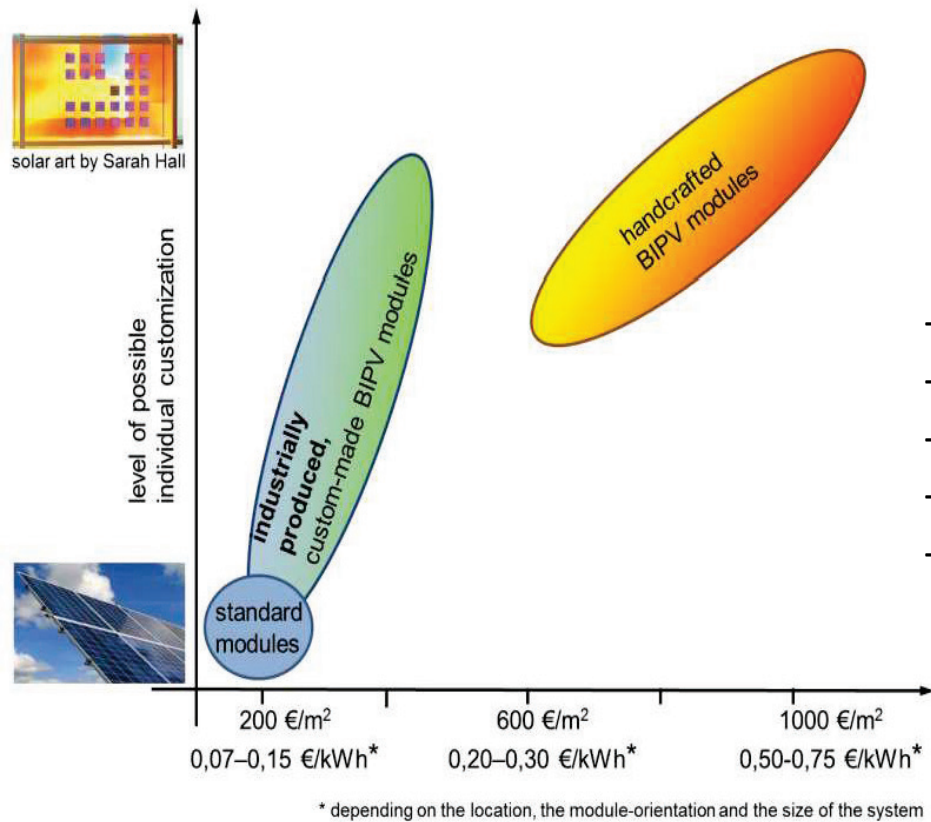


Fig. 17. Daily average electrical power and its corresponding working temperature for various submerged ratios.

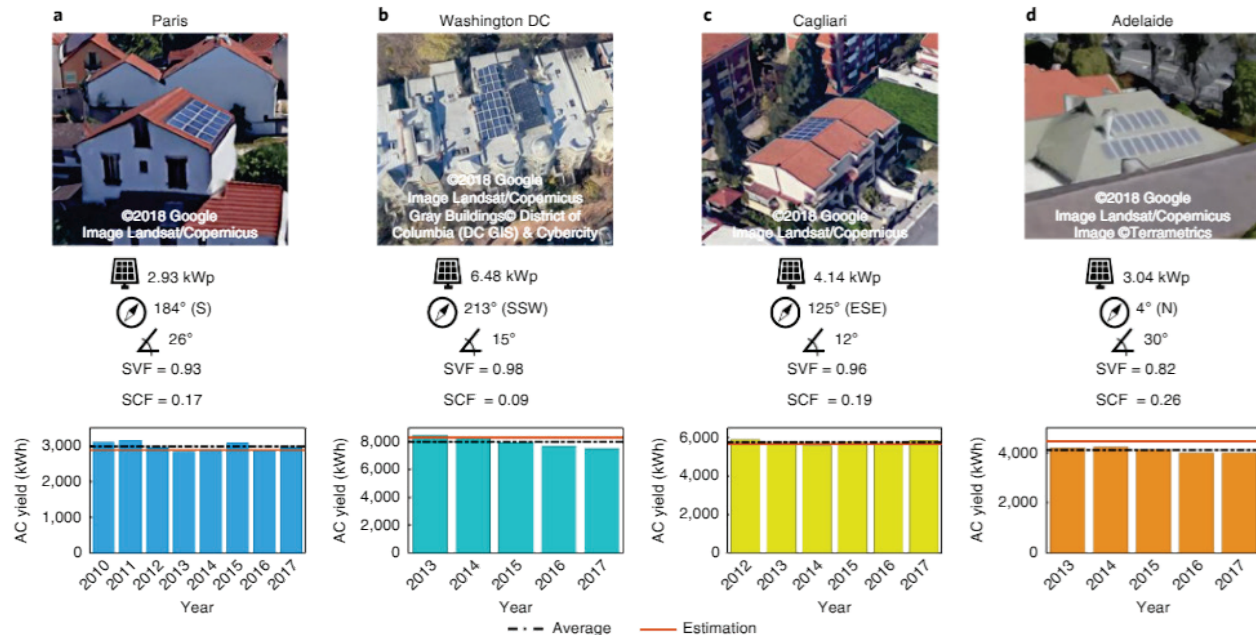
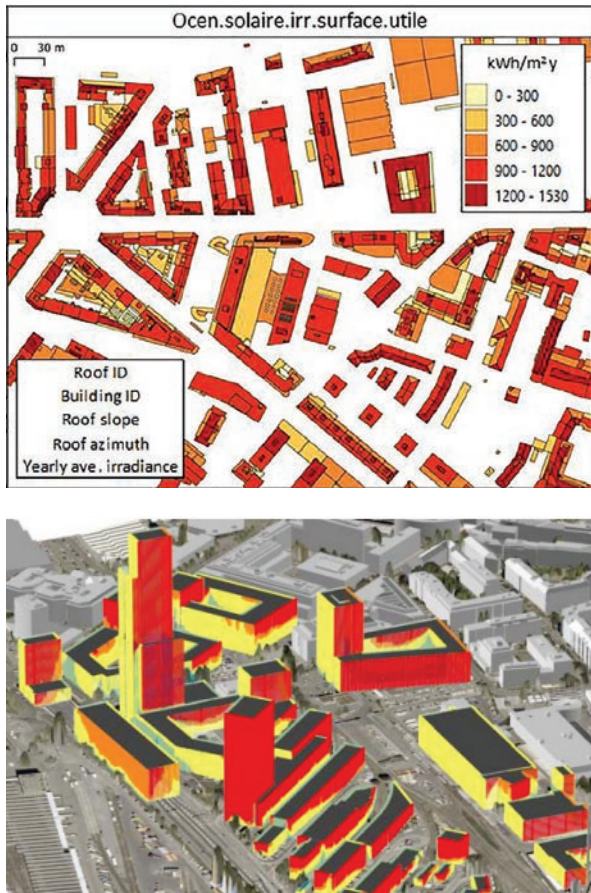
<https://doi.org/10.1016/j.energy.2022.123444>

# BIPV



- Réduction des émissions de CO<sub>2</sub> des bâtiments
- Energie à faible coût
- Faibles coûts d'installation supplémentaires
- Pas de standardisation, produit de construction
- Design et esthétique importants

# BIPV : Cadastre solaire



<https://doi.org/10.1038/s41560-018-0318-6>

- 10% : Erreur maximale observée par la validation
- Diminution sensible des temps de calcul de production électrique
- Applications aux cadastres solaires

- 75% des bâtiments sont partiellement ombragés
- 75% des bâtiments ombragés, le sont faiblement (moins de 30%)
- Les bâtiments les moins ombragés sont plutôt de grands bâtiments peu hauts

<https://doi.org/10.1016/j.enbuild.2022.111919>

# BIPV : Intégration du PV aux bâtiments

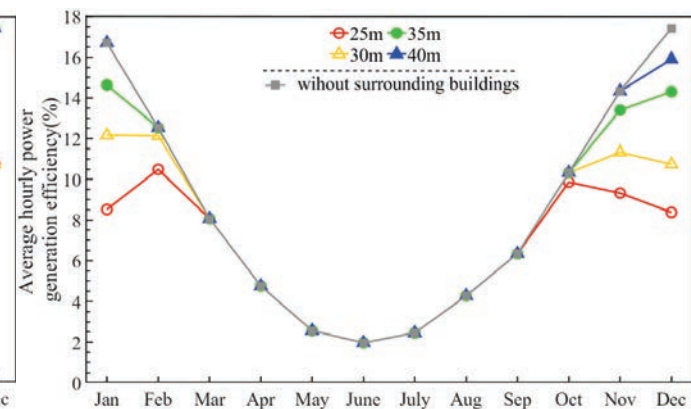
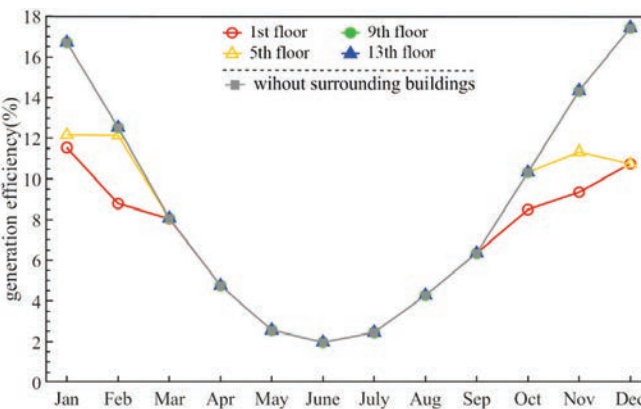
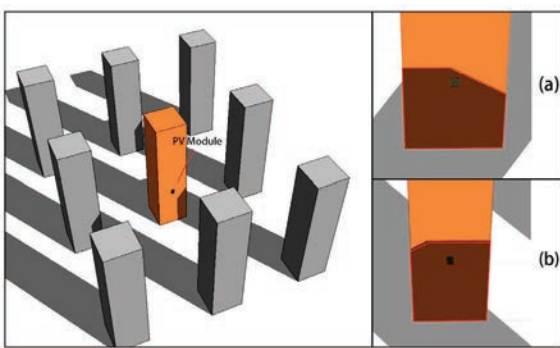


Fraunhofer  
ISE

Zurich (Suisse)

- Rénovation/Construction
- Non uniformité d'éclairement

Paris (France)



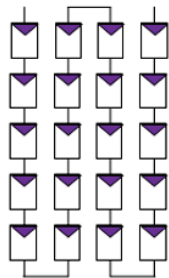
<https://doi.org/10.1016/j.energy.2022.123160>

# Plan

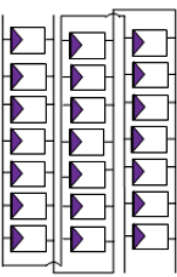
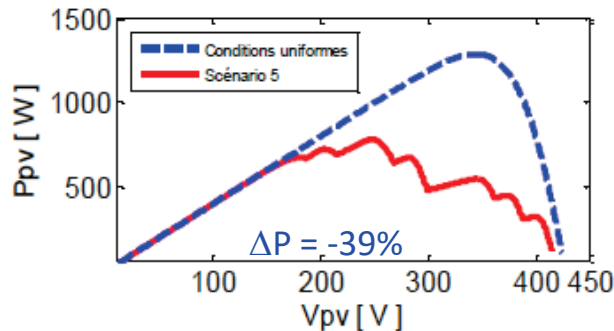


- *Quelques exemples d'intégration du photovoltaïque*
- **Les interconnexions de modules**
- Les éléments de base d'un système photovoltaïque et les défaillances et le suivi de l'état de santé des systèmes photovoltaïques

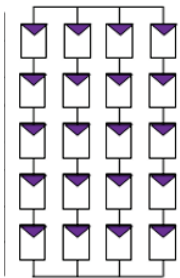
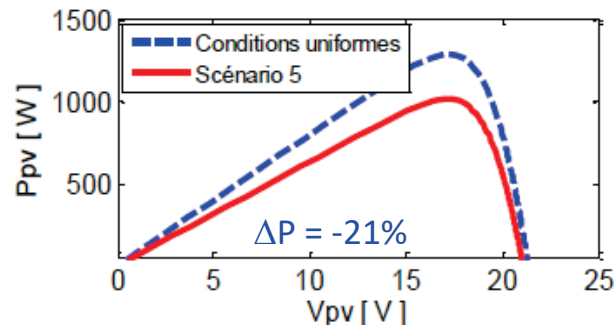
# Les interconnexions de modules



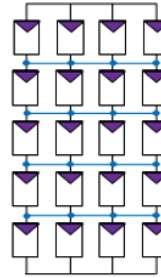
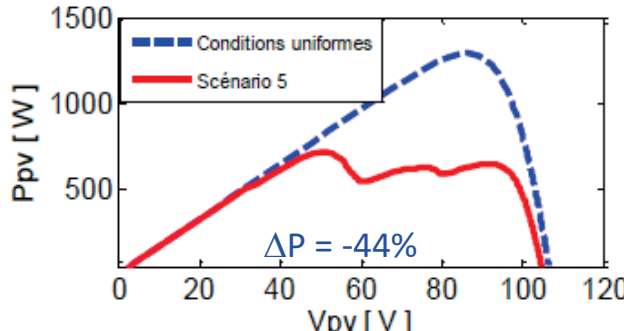
Série



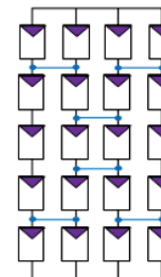
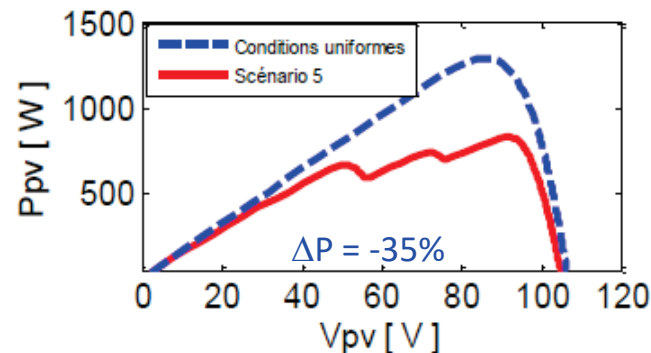
Parallèle



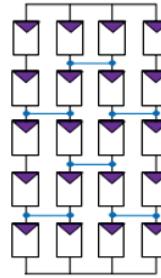
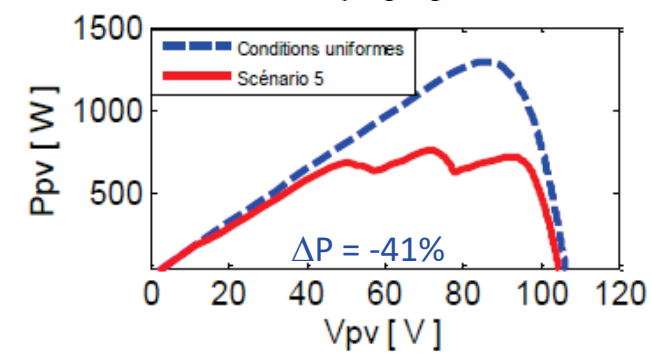
Série-  
Parallèle



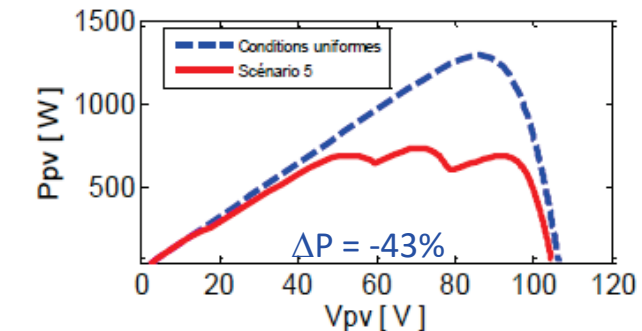
Croisé



Pont



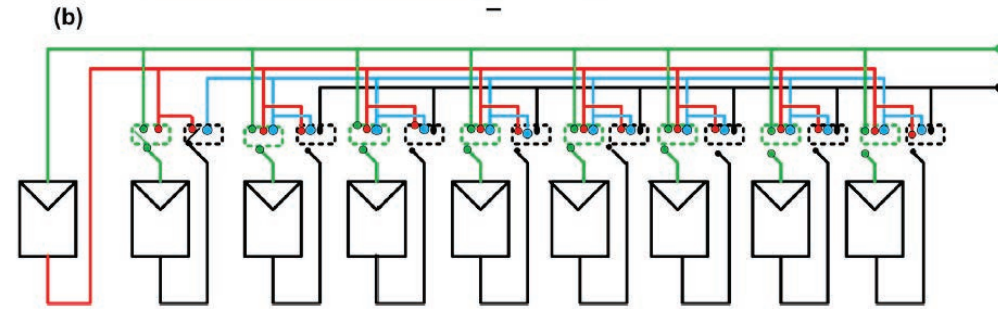
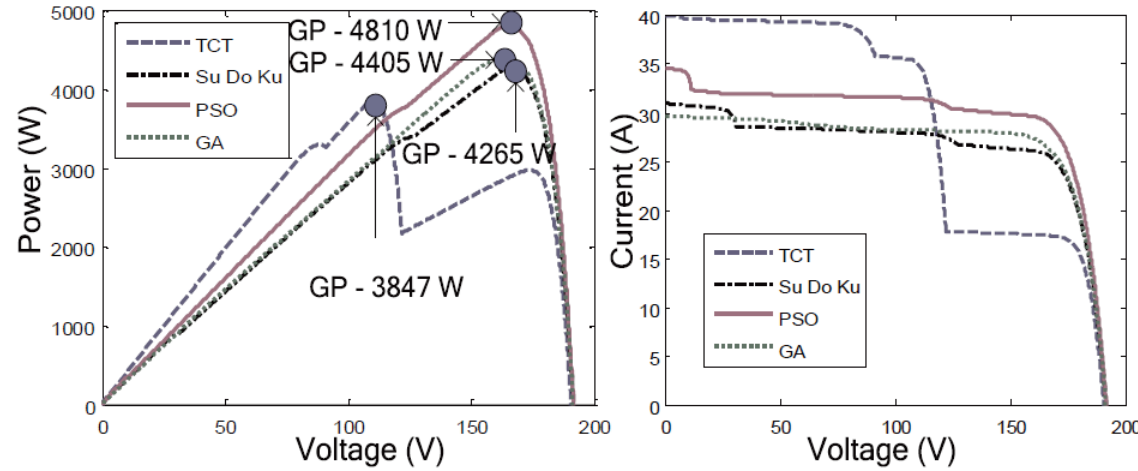
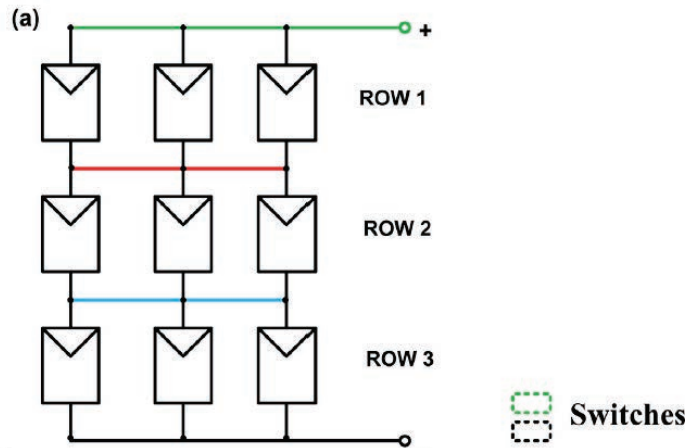
Nid  
d'abeille



Cas d'ombrages aléatoires, simulation

# Les interconnexions de modules

## ➤ Les systèmes reconfigurables :



Exemple de reconfiguration dynamique

Reconfiguration statique : les panneaux sont mobiles

Nécessite une image de l'éclairement en temps réel, un algorithme d'optimisation et un contrôleur

<https://doi.org/10.1016/j.solener.2019.02.057>

# Plan

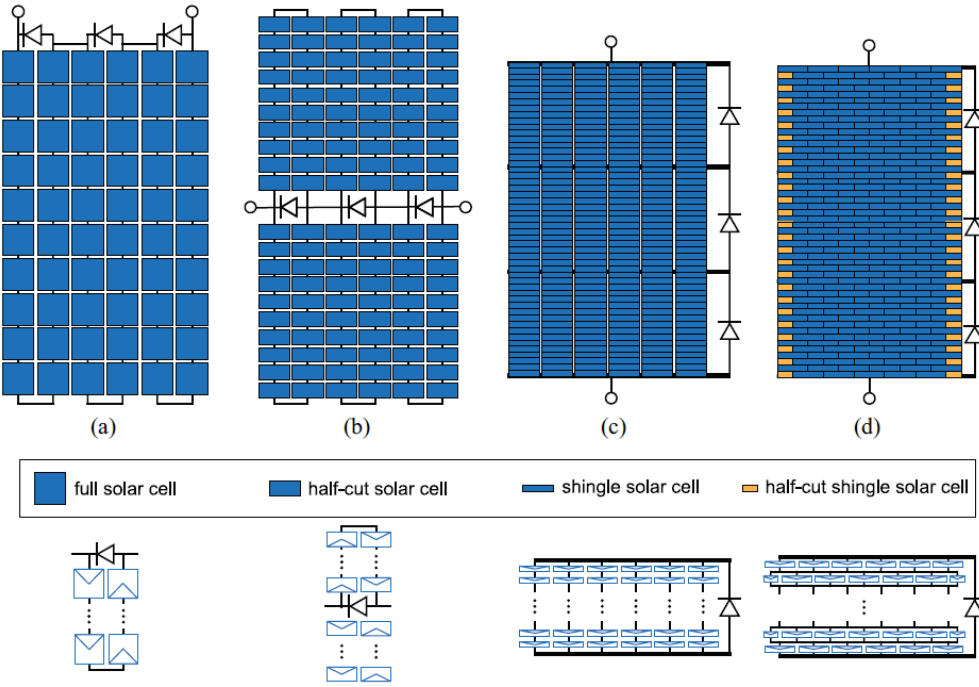


- *Quelques exemples d'intégration du photovoltaïque*
- *Les interconnexions de modules*
- **Les éléments de base d'un système photovoltaïque**
- Les défaillances et le suivi de l'état de santé des systèmes photovoltaïques

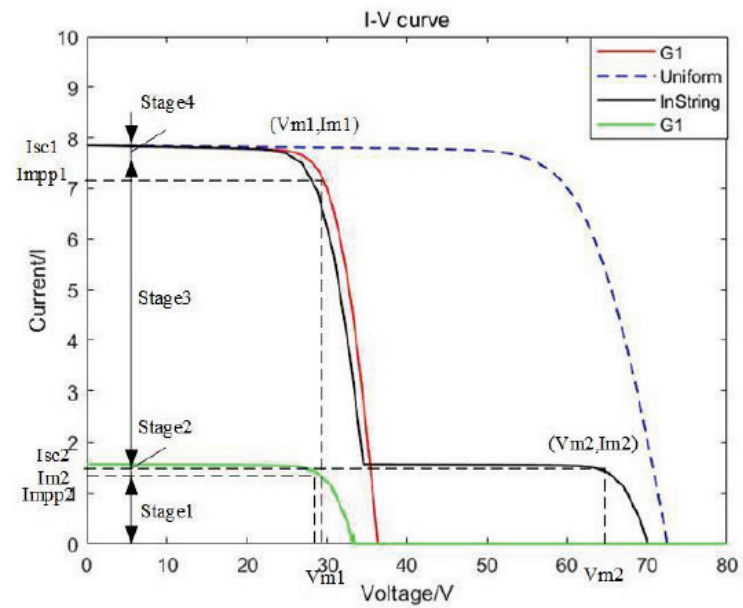
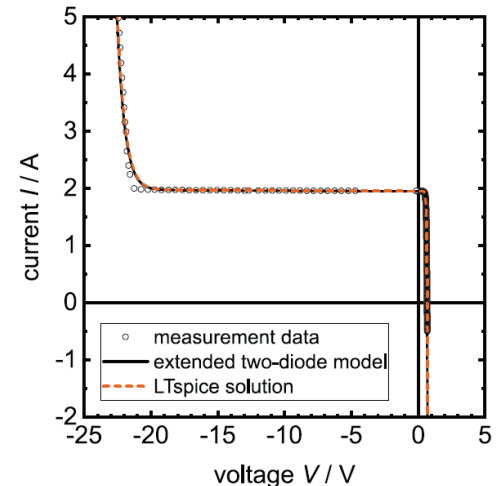
# Les éléments d'un système

## ➤ La diode de bypass :

<https://doi.org/10.1109/JPHOTOV.2022.3144635>

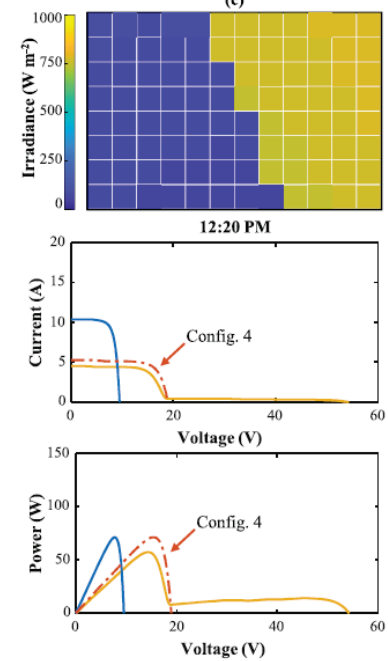
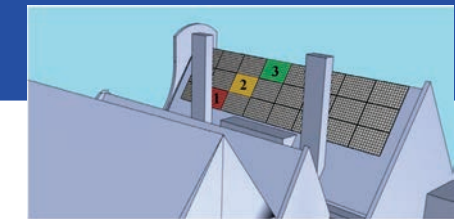
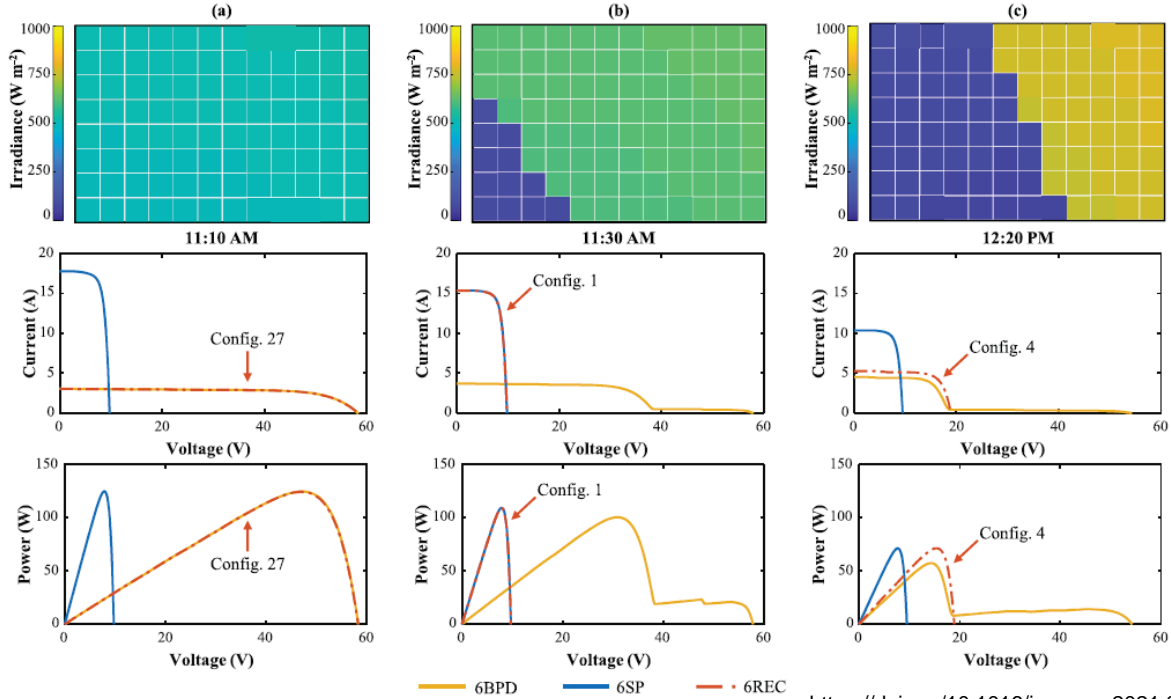
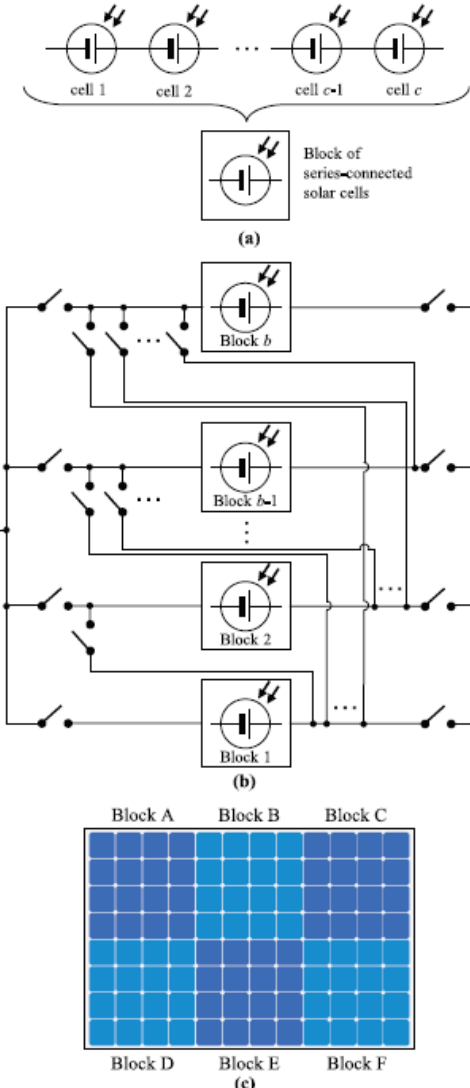


Avenir : 1 diode bypass par cellule,  
directement sur le wafer de silicium



# Les éléments d'un système

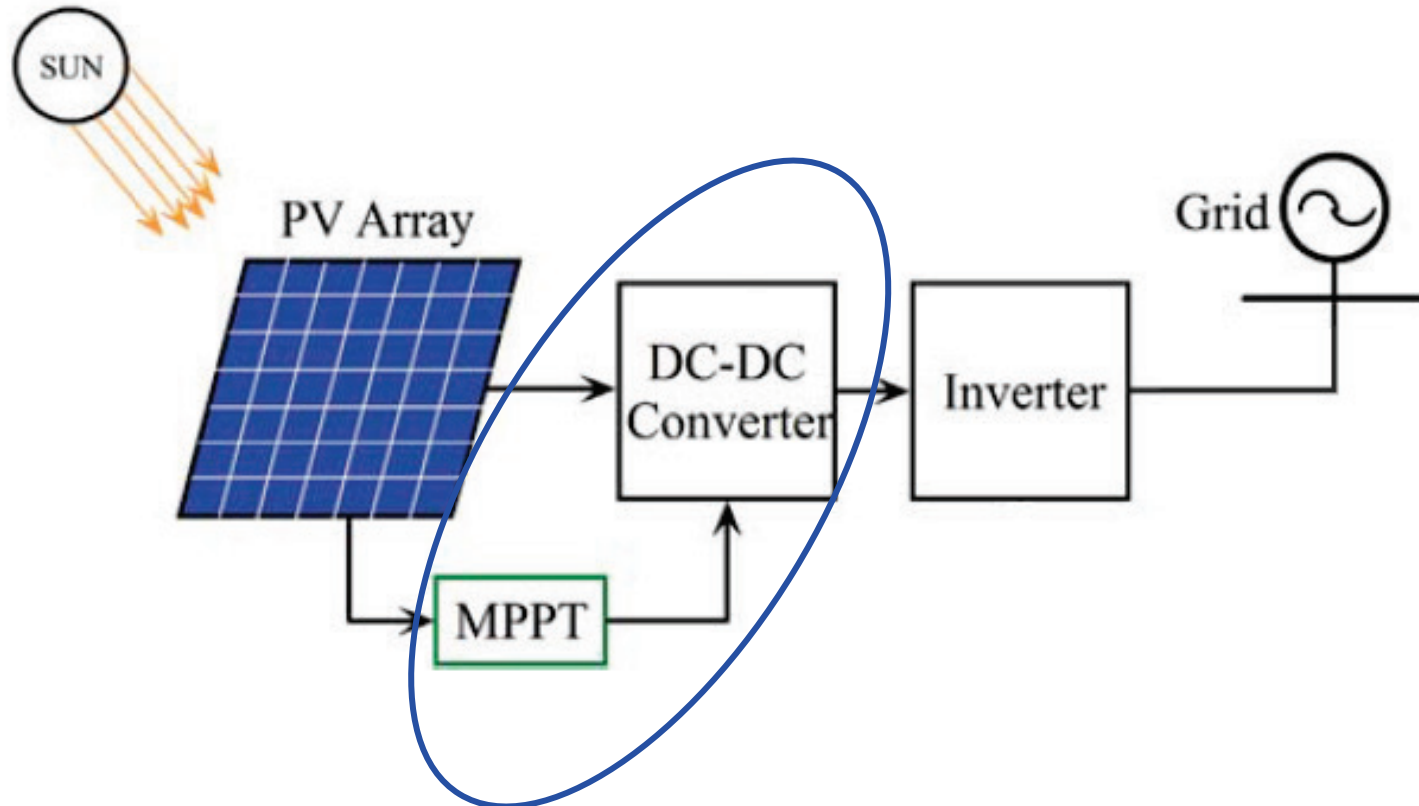
## ➤ La diode de bypass : Les modules intelligents



<https://doi.org/10.1016/j.renene.2021.07.010>

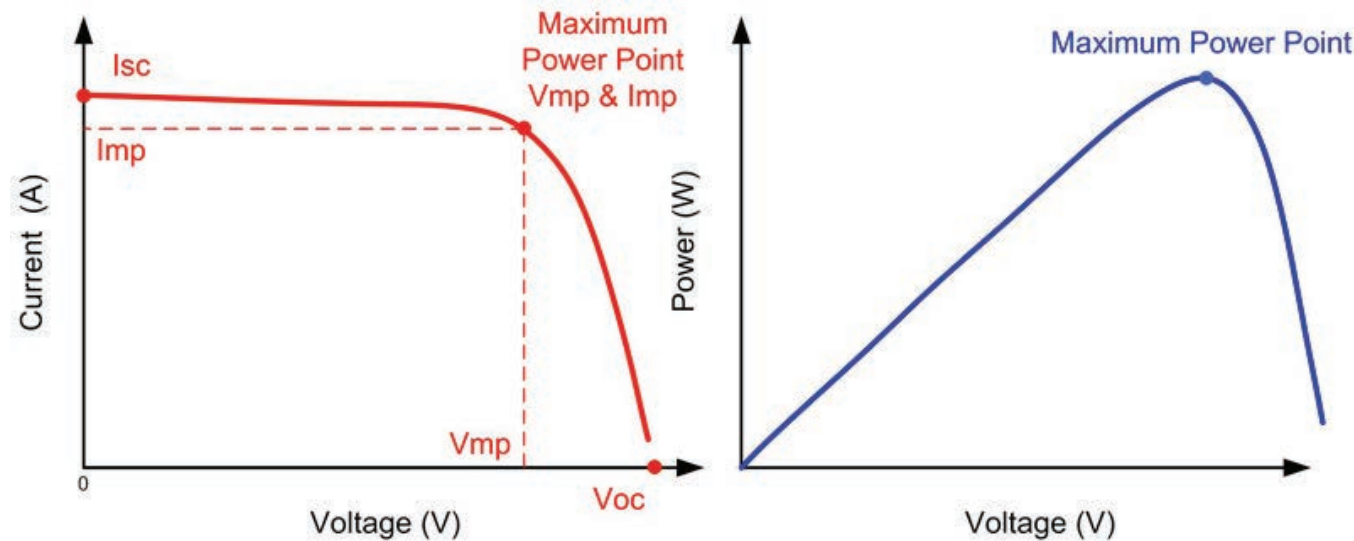
- 96 cellules disposées en 6 blocs
- 27 configurations électriques SP
- Ombrage pendant 32% du temps  
→ +12,7% d'énergie qu'avec 6 BPD

# Les éléments d'un système



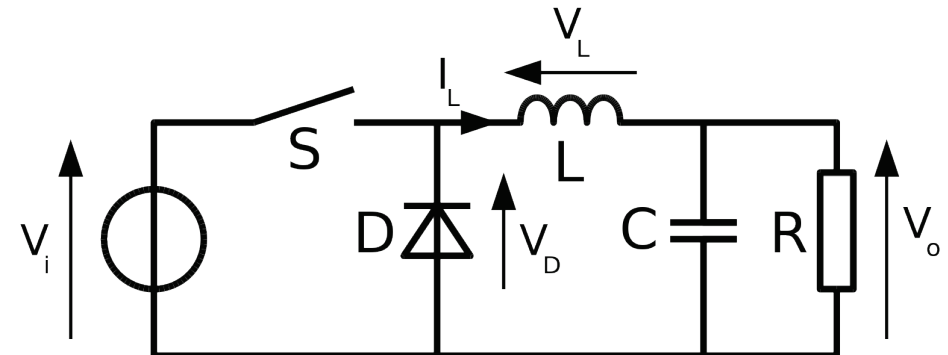
# Les éléments d'un système

- Le Suivi du point de puissance maximale :

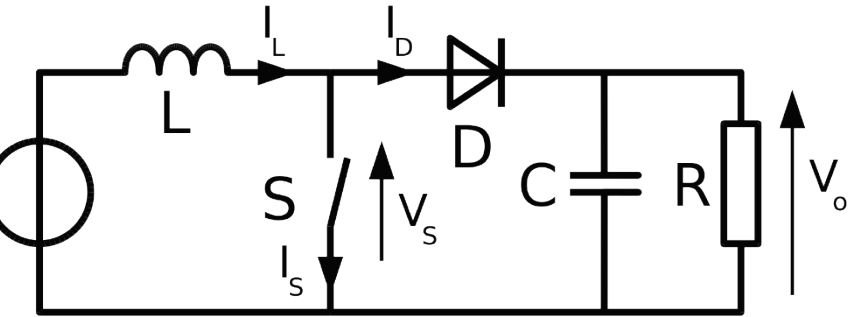


# Les éléments d'un système

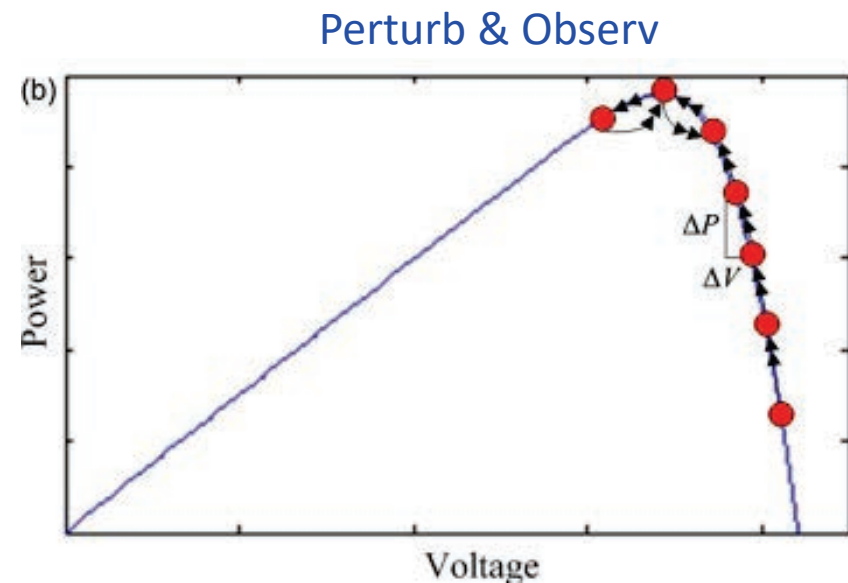
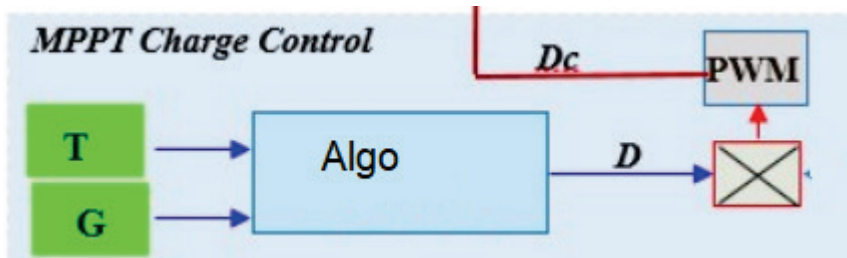
- Le Suivi du point de puissance maximale :



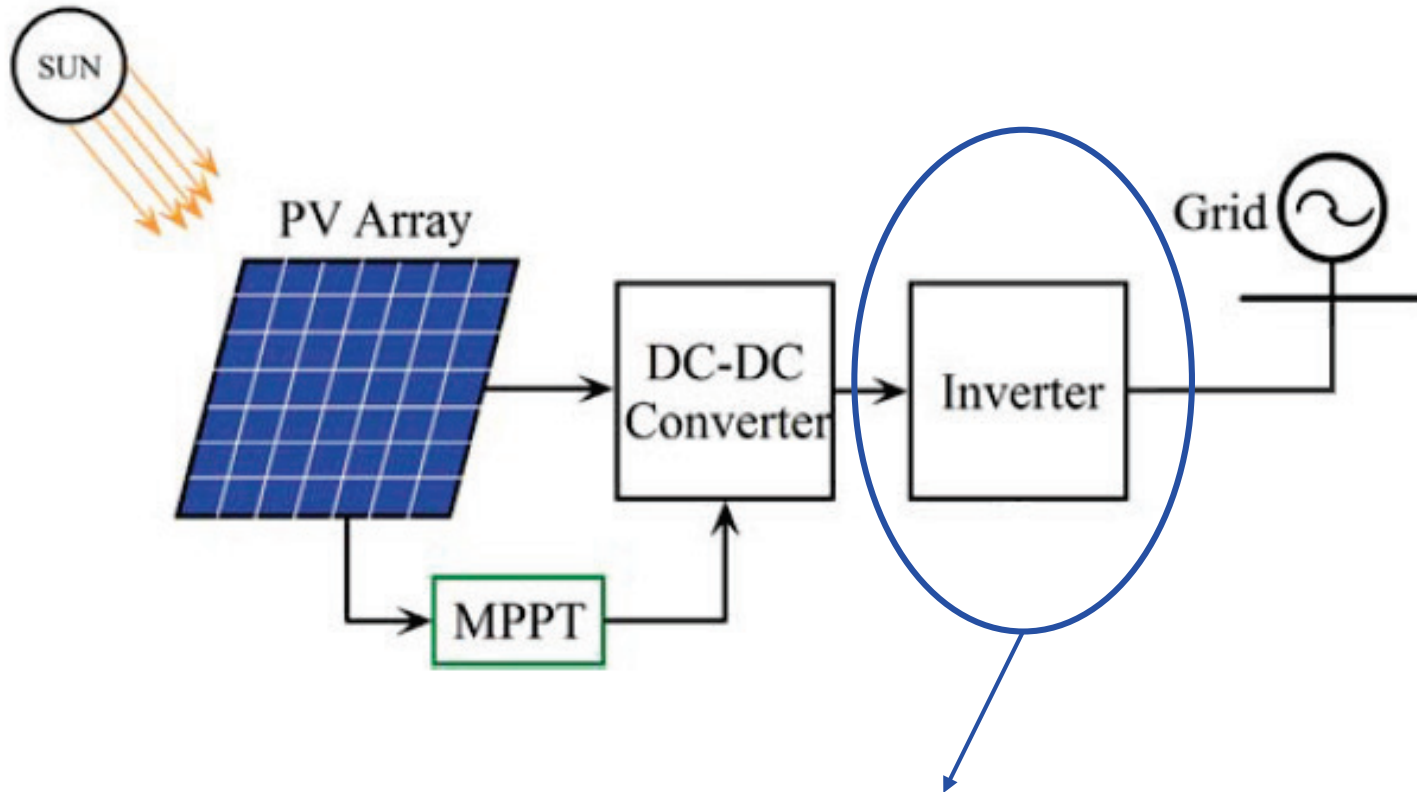
Montage abaisseur de tension



Montage élévateur de tension



# Les éléments d'un système



- String : pour une chaîne de panneaux
- Multistring : pour plusieurs chaînes de panneaux
- Mini : pour un panneau

# Les éléments d'un système

## ➤ Le stockage :

E4C

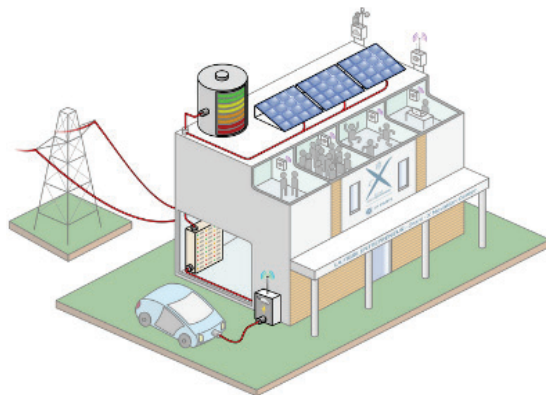
INTERDISCIPLINARY  
CENTER

French

À PROPOS

ÉDITORIAL

## Dashboard du bâtiment Drahi-X

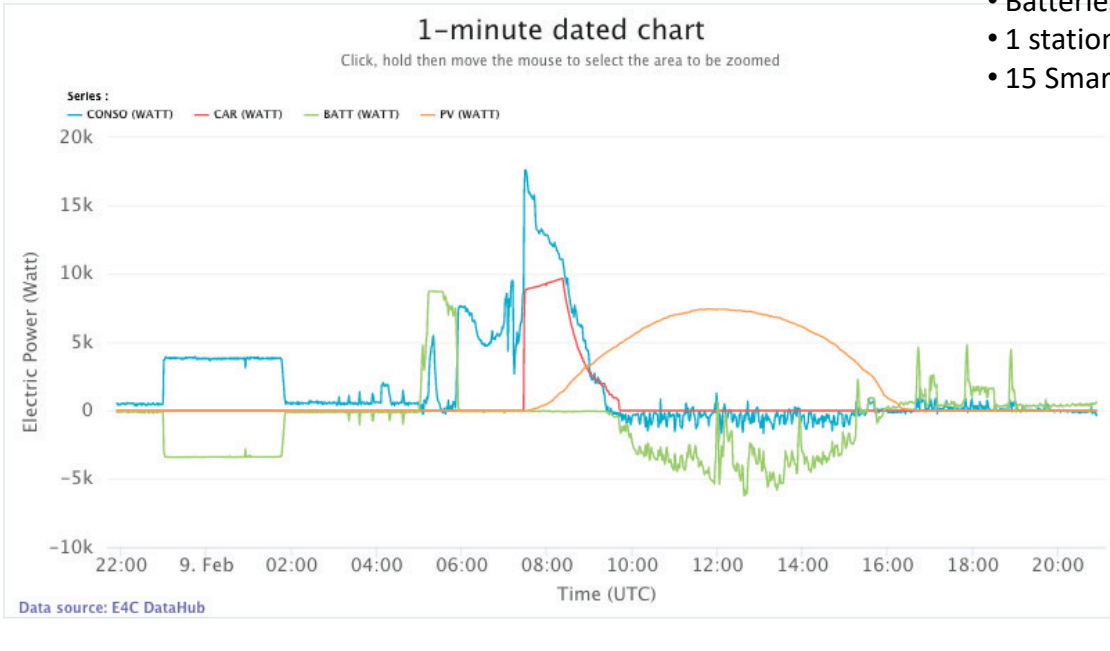


### Mesure

Production de la ferme photovoltaïque (PV),  
Consommation électrique de la zone d'étude (CONSO),  
Batterie (BATT), Borne de recharge de véhicule électrique (CAR)

Temps réel

AFFICHER

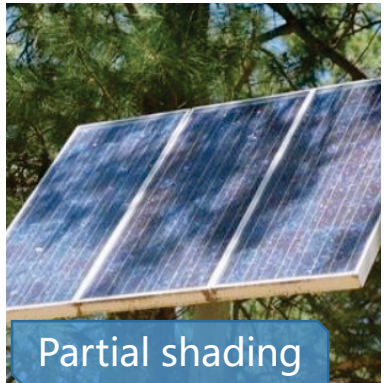


- PV : 16.7 kWc
- Batteries : 30 kWh
- 1 station VH
- 15 Smartmeters



- *Quelques exemples d'intégration du photovoltaïque*
- *Les interconnexions entre modules*
- *Les éléments de base d'un système photovoltaïque*
- **Les défaillances et le suivi de l'état de santé des systèmes photovoltaïques**

# Les défaillances



Partial shading

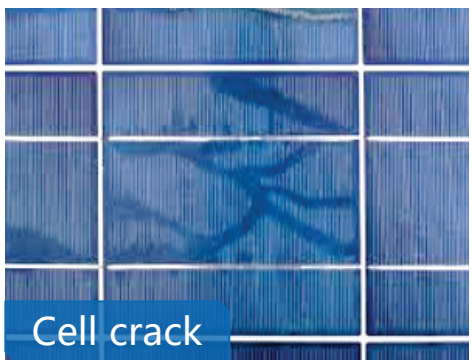


Diode faults



Delamination

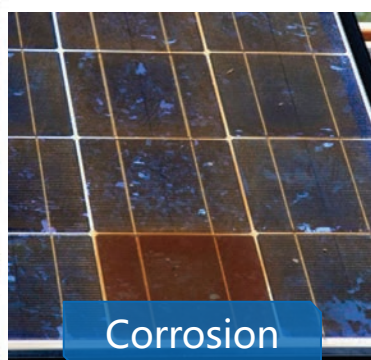
Review of failures of photovoltaic modules, IEA-PVPS, 2014



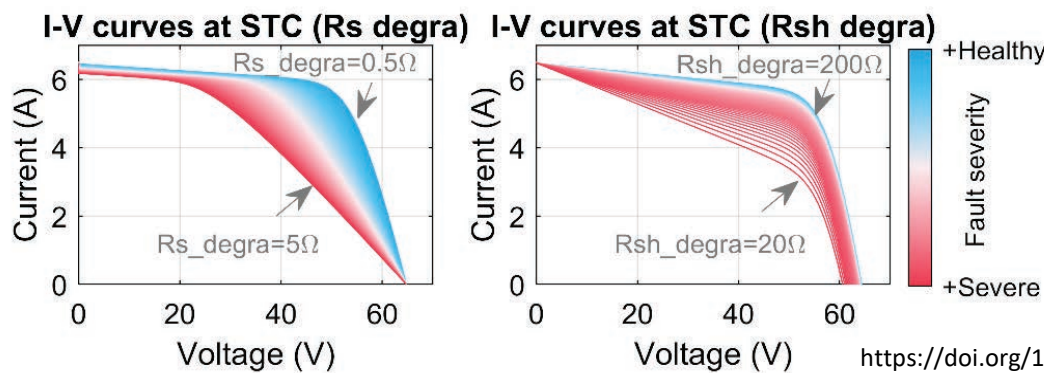
Cell crack



Snail trail



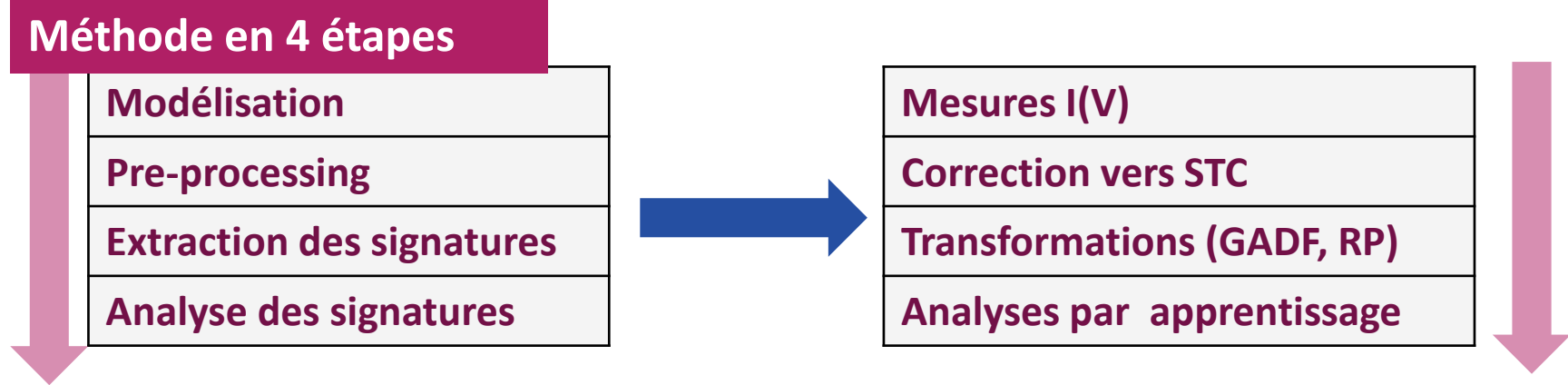
Corrosion



<https://doi.org/10.1016/j.enconman.2021.114785>

# Le suivi de l'état de santé

- Une méthode de diagnostic :

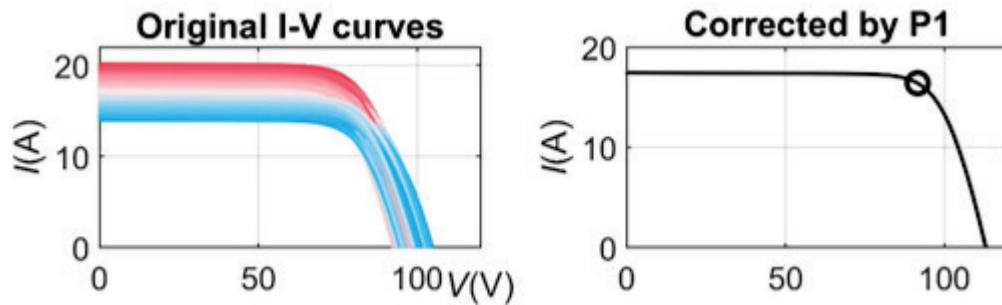
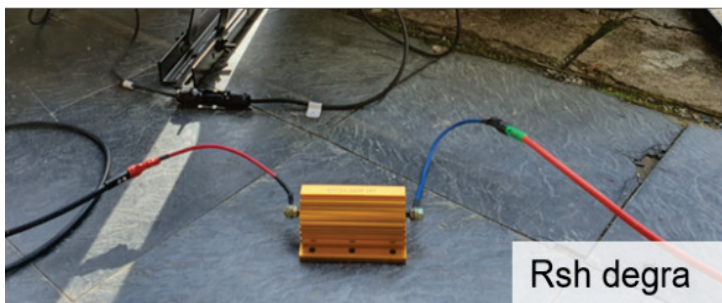


J. Harmouche, et al, IEEE Trans. on Relia., vol. 65, no. 3, 2016.

B. Li, Thèse de doctorat, 2021

# Le suivi de l'état de santé

- Une méthode de diagnostic :



**Mesures I(V)**

**Correction vers STC**

**Transformations (GADF, RP)**

**Analyses par apprentissage**

**Mesures I(V)**

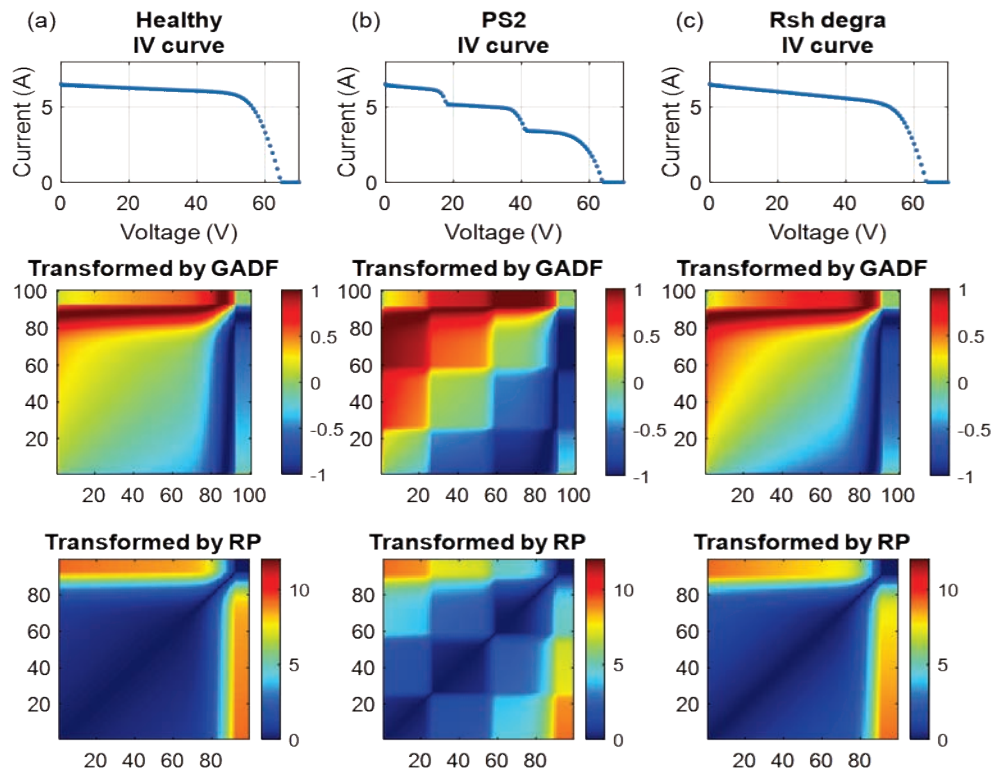
**Correction vers STC**

**Transformations (GADF, RP)**

**Analyses par apprentissage**

# Le suivi de l'état de santé

- Une méthode de diagnostic :



Mesures I(V)

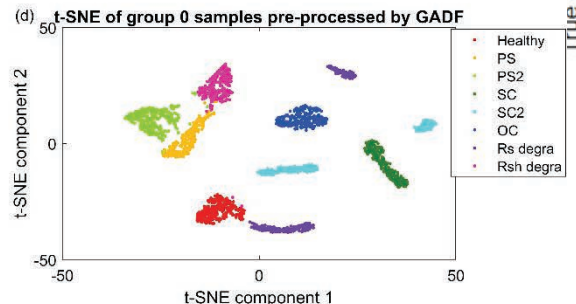
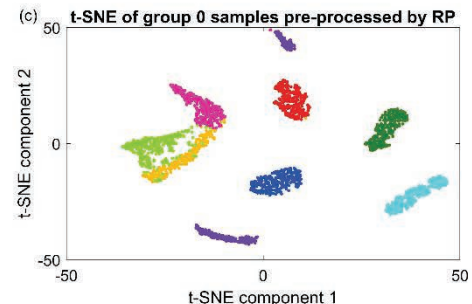
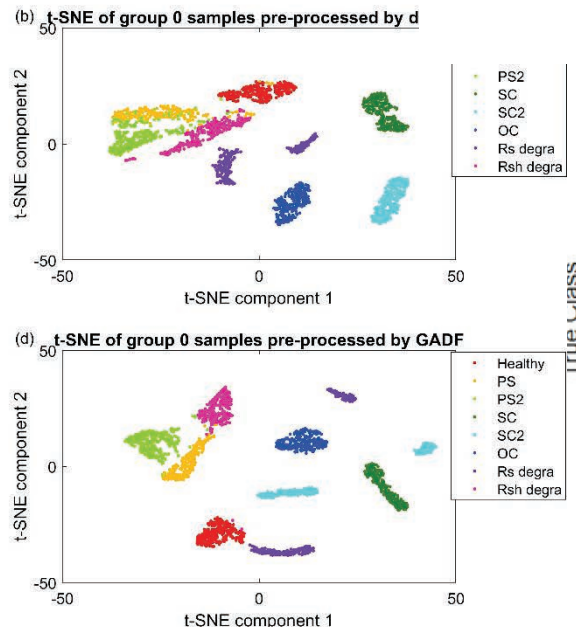
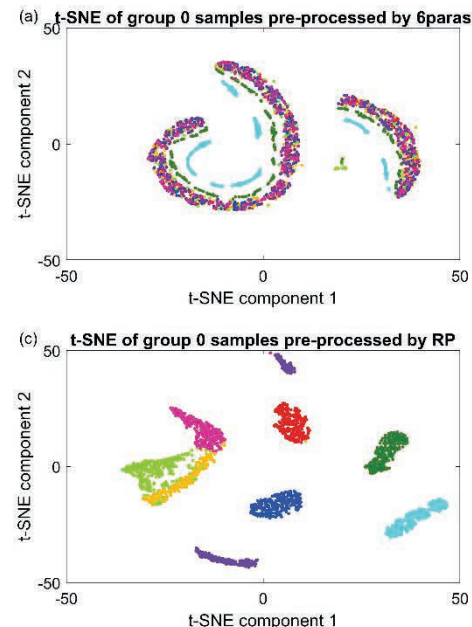
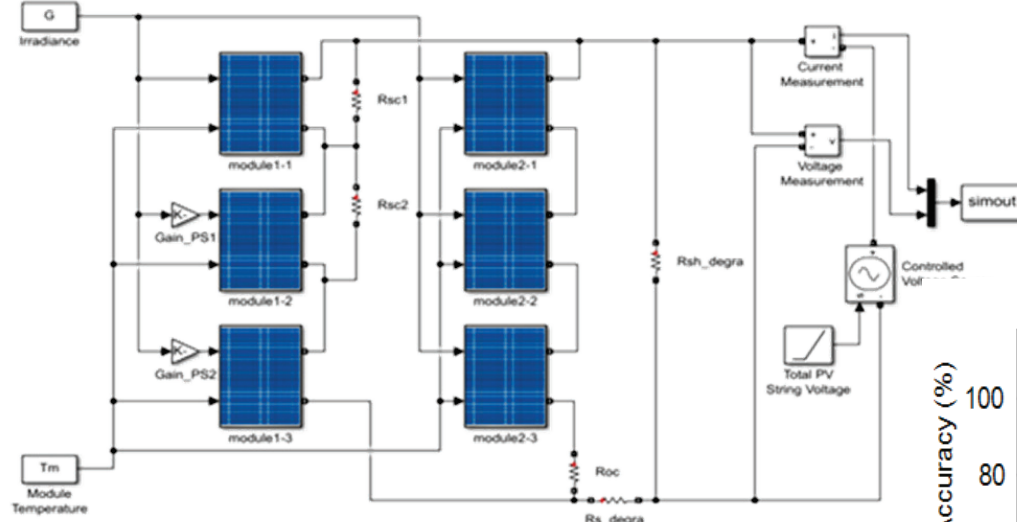
Correction vers STC

Transformations (GADF, RP)

Analyses par apprentissage

# Le suivi de l'état de santé

➤ Une méthode de diagnostic :

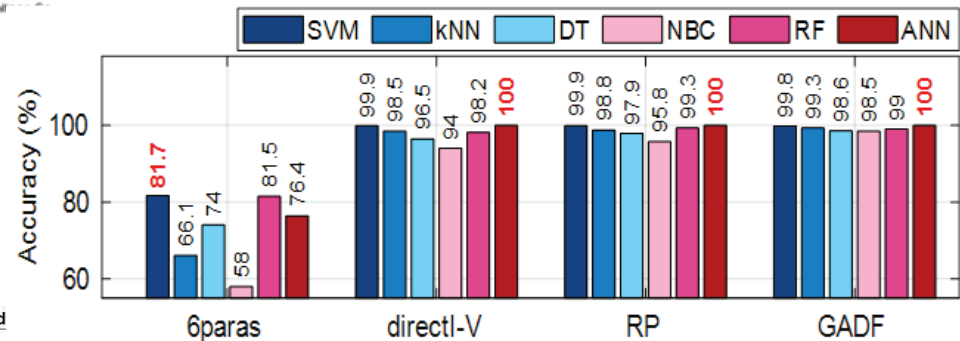


## Mesures I(V)

### Correction vers STC

### Transformations (GADF, RP)

### Analyses par apprentissage



6paras (accu:81.71%)

Healthy	261	19	18			2		
PS	9	158	75			1	21	36
PS2		87	118			27	68	
SC				297		3		
SC2					300			
OC						298	2	
Rs degra	1	17	3				267	12
Rsh degra	1	7	28			2	262	

87.0%	13.0%
52.7%	47.3%
39.3%	60.7%
99.0%	1.0%
100.0%	
99.3%	0.7%
89.0%	11.0%
87.3%	12.7%

96.0%	54.9%	48.8%	100.0%	100.0%	98.7%	83.2%	69.3%
4.0%	45.1%	51.2%			1.3%	16.8%	30.7%

Healthy PS PS2 SC SC2 OC Rs degra Rsh degra

<https://doi.org/10.1016/j.enconman.2021.114785>

# Conclusion

- Les modes d'intégration du photovoltaïque sont multiples
- Les systèmes photovoltaïques sont complexes
- Adaptable à toutes les situations
- Suivi de l'état de la production

## Les systèmes Plug&Play

*Les installations solaires en kit*



## Les modules AC

*Des modules à brancher directement sur la charge*





COLLÈGE  
DE FRANCE  
1530

Merci !



Fondation  
Bettencourt  
Schueller  
*Reconnue d'utilité publique depuis 1987*

